

УДК 621.967.1

к.т.н. Ульяницкий В.Н.,
Петров П.А.
(ДонГТУ, г. Алчевск, ЛНР)

ВЛИЯНИЕ ФОРМЫ И РАСПОЛОЖЕНИЯ ПРОФИЛЯ НА ЭНЕРГОСИЛОВЫЕ ПАРАМЕТРЫ РЕЗКИ ФАСОННОГО МЕТАЛЛОПРОКАТА СОРТОВЫМИ НОЖНИЦАМИ

В статье проведен анализ влияния формы разрезаемого сечения и относительного направления реза на эффективность разделительной операции при обработке фасонного металлопроката сортовыми ножницами.

Ключевые слова: фасонный металлопрокат, сортовые ножницы, сила резки, работа резки, уголок, швеллер, полоса, штрапс.

Проблема и ее связь с научными и практическими задачами. Разделение фасонного металлопроката на мерные длины является весьма важной и ответственной задачей при проектировании нового и модернизации действующего технологического оборудования в современном сортопрокатном производстве. Существующие способы получения мерных заготовок из сортового проката можно разделить на две группы: 1) основанные на процессах механической резки, сопровождающиеся образованием отходов; 2) способы безотходного разделения сортового проката, основанные на процессах обработки металлов давлением. С учетом того, что операции поперечного разделения являются заключительными в технологической цепи производства сложнопрофильного металлопроката (уголок, двутавр, швеллер и т. п.) и выполняются над товарным продуктом, к качеству и энергоэффективности процесса резки предъявляют особые требования [1, 2].

В связи с этим способы резки, исключающие стружкообразование, характеризующиеся высокими материалосберегающими, экономичными показателями и увеличенной (более чем в 2 раза) производительностью, являются перспективными для дальнейшей разработки и совершенствования [3, 4].

Основными показателями процесса резки, подразделяющегося на три этапа (вмя-

тие ножей в металл, сдвиг или собственно рез, отрыв), являются сила P и работа резки A , определение которых принято проводить по известным методикам А. И. Целикова [5]. Вместе с этим указывается, что при определении максимального значения силы резки фасонными ножами (квадрат по диагонали) можно использовать результаты, полученные для случая резки параллельными ножами заготовки с сечением, равным по площади.

Однако, как следует из [2], положение и форма профиля относительно направления движения ножей, оказывают влияние на силу и работу резки. Так, опираясь на результаты работы [6], было показано, что распределение силы резки в зависимости от хода ножей и температурно-деформационных параметров имеет сложный характер. Погрешность определения максимальной силы резки по отношению к известным методам расчета [5] может сократиться в 2,58 раза при резке квадрата параллельными ножами и в 7,17 раза при разделении квадрата по диагонали. Это обусловлено учетом реальной геометрии профиля и кинематикой развития очага деформации, реализованными описанной ранее математической моделью [7].

В свою очередь, необходимость использования фасонных (фигурных) ножей при осуществлении разделительных операций сортовых профилей на ножницах усложняет методику расчета и требует дополне-

ния соответствующих алгоритмов; при этом вопрос определения сил резки применительно к фланцевым профилям в литературе освещен недостаточно.

Постановка задачи.

Цель работы – провести анализ влияния формы разрезаемого сечения и относительного направления реза на эффективность разделительной операции при обработке фасонного металлопроката сортовыми ножницами.

Комплексный подход к решению задач энергоэффективности процесса резки сложнопрофильного металлопроката невозможен без создания математических моделей с последующим обобщением и анализом полученных результатов.

Изложение материала и результаты.

Для вычисления силы резки фасонными ножами 1 и 3 швеллера 2 следует рассмотреть расчетную схему на рисунке 1. На рисунке обозначены следующие параметры: H – высота полки; t_p – толщина полки; B – ширина стенки; t_s – толщина стенки.

Ввиду симметрии швеллера относительно вертикальной оси можно рассматривать только половину сечения. В правой половине сечения выделяем точки т.2 и т.3, координаты которых определяют продолжительность характерных зон (уч-

стков) швеллера, отсчитываемые от начала координат (точка т.1) вдоль оси абсцисс.

В общем виде их координаты определяются следующими выражениями (рис. 1, а):

$$\begin{aligned} \text{т.1 } &[0; 0], \text{ т.2 } [0,5 \cdot B - t_p; 0], \\ \text{т.3 } &[0,5 \cdot B; 0]. \end{aligned}$$

Сила резки в зависимости от глубины внедрения ножа y на характерных участках сечения I и II, имеющих исходную высоту $h_x^I = t_s$, $h_x^{II} = H$ (рис. 1, б), и с учетом того, что площадь выделенного элементарного объема на удалении x определяется как $ds = h_{\varepsilon_x} \cdot dx$, может быть вычислена интегралом вида:

$$P(y) = 2 \int_{x_{T,1}}^{x_{T,2}} \tau_{\varepsilon_x}^I h_{\varepsilon_x}^I dx + 2 \int_{x_{T,2}}^{x_{T,3}} \tau_{\varepsilon_x}^{II} h_{\varepsilon_x}^{II} dx, \quad (1)$$

где y – суммарное смещение ножей в процессе резки;

$h_{\varepsilon_x} = h_x - y$ – текущая высота сечения (рис. 1, б), вычисляемая в зависимости от участка профиля по следующим выражениям: $h_{\varepsilon_x}^I = t_s - y$, $h_{\varepsilon_x}^{II} = H - y$;

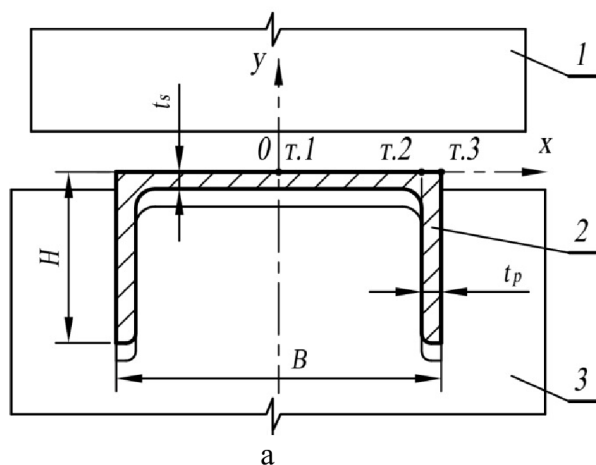
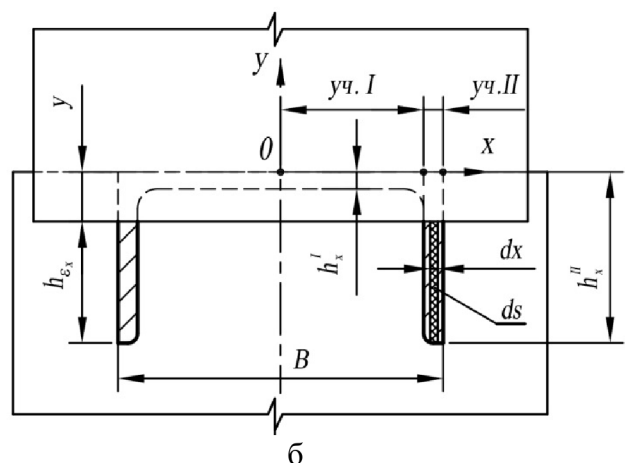


Рисунок 1 – Схема к определению силы резки швеллера фасонными ножами;
а – расположение ножей и заготовки до начала резки; б – в процессе резки



τ_{ε_x} – сопротивление срезу по сечению заготовки от оси к периферии, учитывающее влияние величины относительного надреза ε_h и механических свойств материала [6]:

$$\tau_{\varepsilon_x} = \frac{1,41 \cdot \sigma_b}{1,74 - \varepsilon_{h_x}} \cdot \left(\frac{\varepsilon_x}{\varepsilon_{h_x}} \right)^{0,35}, \quad (2)$$

$\varepsilon_x = \frac{y}{h_x}$ – текущее внедрение, в зависимости от участка: $\varepsilon_x^I = \frac{y}{t_s}$, $\varepsilon_x^{II} = \frac{y}{H}$,

ε_{h_x} – текущее относительное внедрение до скола, при котором происходит полное разделение рассматриваемого элементарного объема;

σ_b – предел прочности разрезаемого материала.

В итоге зависимость силы резки от глубины внедрения y будет иметь следующий вид:

$$P(y) = 2k^I \int_{x_{r,1}}^{x_{r,2}} [\tau_{\varepsilon_x}(t_s - y)] dx + \\ + 2k^{II} \int_{x_{r,2}}^{x_{r,3}} [\tau_{\varepsilon_x}(H - y)] dx, \quad (3)$$

где k^I и k^{II} – критерий, определяющий влияние соответствующего характерного участка сечения на силу резки в зависимости от хода ножа y через заготовку:

$$k^{I,II} = \begin{cases} 1 & \text{при } 0 \leq h_{np}^{I,II} \leq k_{par}; \\ 0 & \text{при } h_{np}^{I,II} > k_{par}, \end{cases} \quad (4)$$

где h_{np} – предельная (до разрушения) высота рассматриваемого элементарного объема на характерном участке: $h_{np} = y / (\varepsilon_{h_x} \cdot h_x)$;

$k_{par} = 1,0 \div 1,5$ – коэффициент, определяющий момент наступления разрушения, зависящий от материала заготовки, на-

стройки ножниц и состояния режущих кромок ножей; определяется эмпирически; для пластичных материалов и новых ножей – $k_{par} = 1,0$.

На рисунке 2 представлены экспериментальные I и теоретические II зависимости силы резки от относительного внедрения $\varepsilon = y / H$ ножей в металл при разделении швеллера 10x20x10x1,9 мм из алюминиевого сплава АА6063 [8].

Из представленных графиков можно увидеть, что результаты экспериментов хорошо согласуются с теоретическими зависимостями. Максимальная сила резки, полученная эмпирически $P_g = 16,75$ кН, рассчитанная аналитически $P_t = 15,97$ кН, погрешность $\Delta = 4,66\%$. Это позволяет использовать разработанную методику определения силы резки при моделировании подобных процессов. Аналогичные зависимости, описывающие изменение силы резки, от хода ножа были получены для случаев разделения равнобокого уголка, круга и квадрата [6], что позволяет рассмотреть различные схемы реализации процесса и выявить из них наиболее эффективные.

Для выявления характера влияния формы и положения разрезаемого сечения на силу и работу деформации были выбраны сортовые профили с одинаковой площадью поперечного сечения ($S = 91,39 \text{ mm}^2$), но разной формы: уголок равнобокий, швеллер и полоса (штрипс). Сечения отобранных профилей и их расположение в ножевых калибрах представлены на рисунке 3. Следует отметить, что пространственные положения профиля углового равнобокого в ножевых калибрах, представленные на рисунке 3 (в, г) (угол наклона полок относительно горизонтали $\alpha = 0^\circ$ и $\alpha = 20^\circ$), на практике не применяются и приведены в данной работе исключительно в исследовательских целях.

Используя представленные выше зависимости (1)–(4), описывающие характер изменения силы резки в зависимости от хода ножа при разделении швеллера, и результаты

опубликованных ранее работ по резке квадрата (прямоугольника) и углового профиля [6], мы получили распределения силы резки в зависимости от относительного смещения ножей, представленные на рисунке 4.

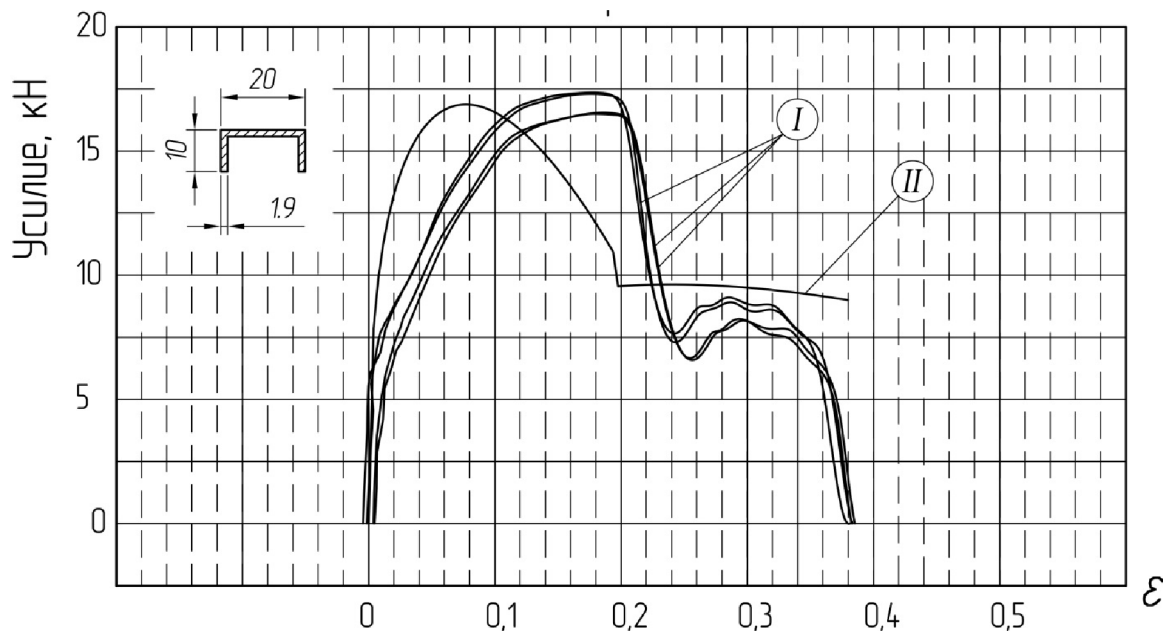


Рисунок 2 – Осциллографмы *I* и теоретические зависимости *II* силы резки швеллера 10x20x10x1,9 мм

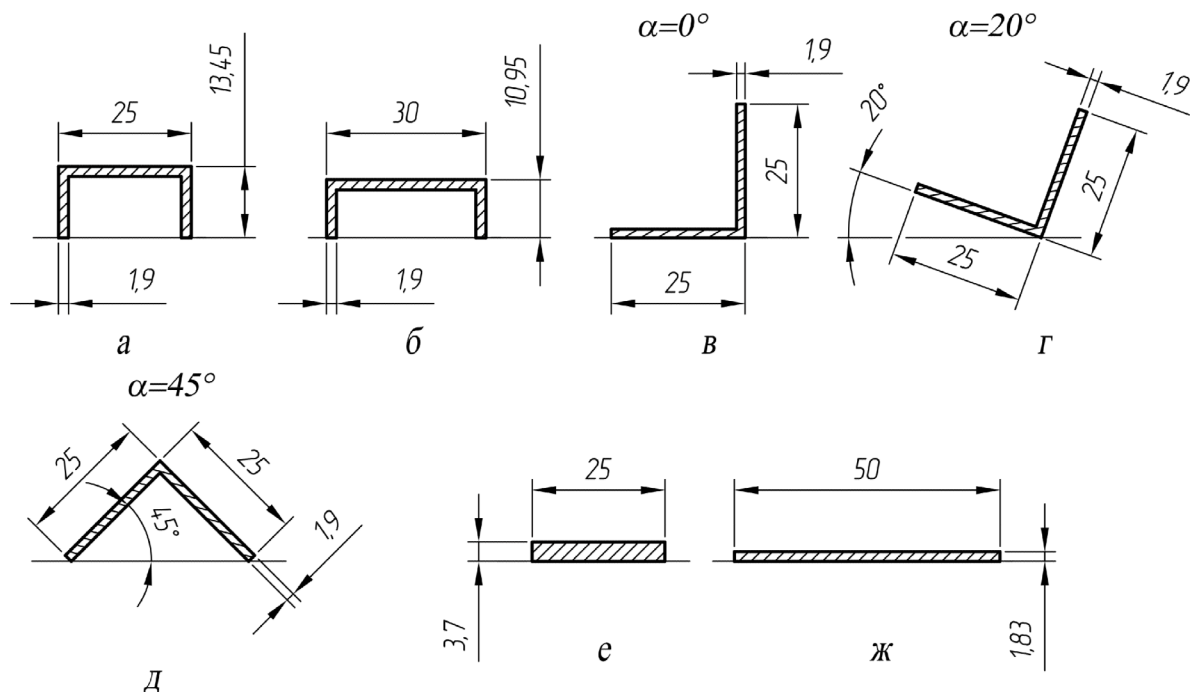


Рисунок 3 – Типы профилей и их положение при резке в ножевых калибрах: а, б – швеллер; в, г, д – уголок равнобокий, соответственно расположенный относительно горизонтали под углом $\alpha = 0^\circ$, 20° , 45° ; е, ж – полосовой профиль

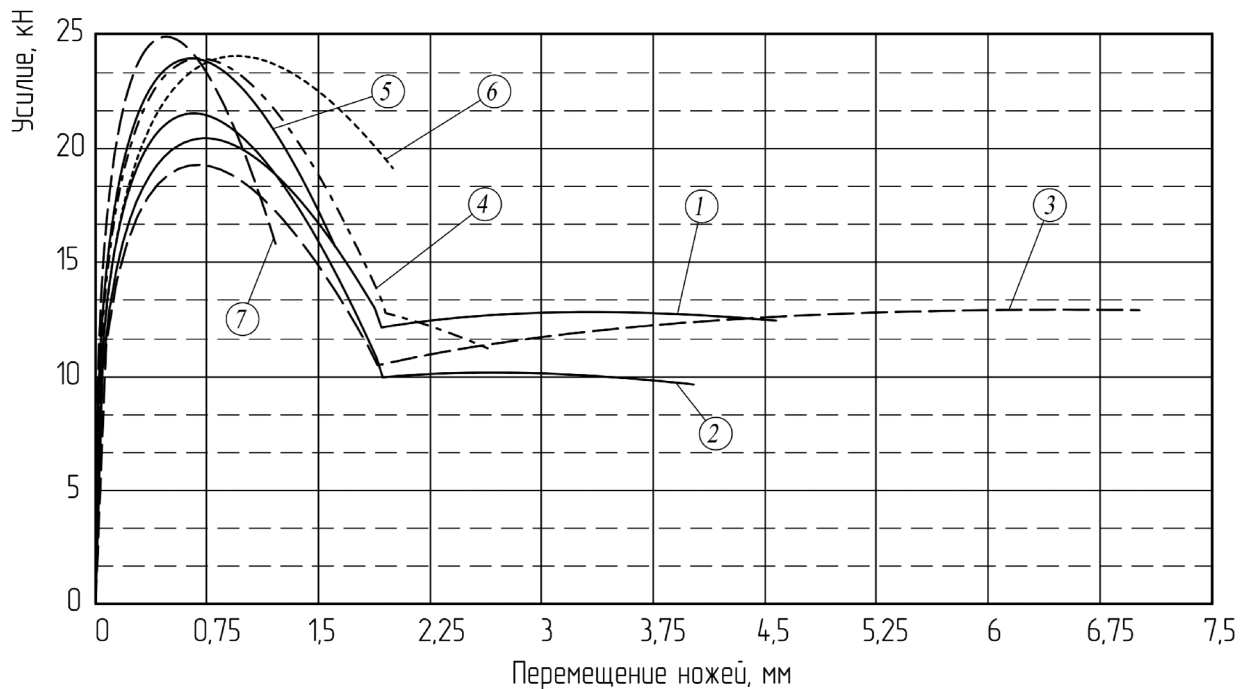


Рисунок 4 – Зависимости силы резки от перемещения ножей при разделении равных по площади сечения фасонных профилей и штрапса на сортовых ножницах: 1 – швеллер 13,45x25x1,9 мм (рис. 3, а); 2 – швеллер 10,95x30x1,9 мм (рис. 3, б); 3 – уголок равнобокий 25x25x1,9 мм при $\alpha = 0^\circ$ (рис. 3, в); 4 – при $\alpha = 20^\circ$ (рис. 3, г); 5 – при $\alpha = 45^\circ$ (рис. 3, д); 6 – профиль прямоугольный 25x3,66 мм (рис. 3, е); 7 – профиль прямоугольный 50x1,83 мм (рис. 3, ж)

Анализ графических зависимостей позволяет оценить влияние формы разрезаемого профиля на распределение силы резки P и суммарную работу A . Наибольшая сила резки $P_{max} = 24,87$ кН действует при разделении прямоугольного сечения 50x1,83 мм (кривая 7, рис. 4). По мере уменьшения ширины профиля (или его горизонтальной проекции) сила резки уменьшается и минимальное значение, соответствующее обработке равнобокого уголка 25x25x1,9 мм при $\alpha = 0^\circ$ (рис. 3, в), составит $P_{min} = 19,25$ кН (кривая 3, рис. 4). Важно то, что площади поперечных сечений указанных заготовок одинаковы. Такое распределение силы резки характерно для всех рассмотренных случаев расположения заготовок. Смещение углового профиля из ортогонального положения ($\alpha = 0^\circ$) приводит к значительному возрастанию максимальной силы резки: $P_{\alpha=0^\circ} = 19,25$ кН (кривая 3, рис. 4),

$P_{\alpha=45^\circ} = 23,92$ кН (кривая 5, рис. 4). Однако располагать сечение под нетехнологичным углом (например $\alpha = 20^\circ$) нерационально ввиду незначительного снижения максимальной силы резки, что можно проследить по кривым 4, 5 (рис. 4).

При проектировании оборудования на предельные нагрузки необходимо знать величину максимальной силы резки. Не менее важным параметром является работа резки A , влияющая на энергоэффективность установки ножниц. Ее величина определяется площадью между графиком функции $P(y)$ и осью абсцисс. Выражение для расчета работы резки имеет вид:

$$A = \int P(y)dy. \quad (5)$$

Работа резки максимальна в случае разделения равнобокого уголка 25x25x1,9 мм в положении, соответствующем $\alpha = 0^\circ$ (рис. 3, в), и составляет $A_{max} = 93,66$ Дж.

Минимальное значение $A_{min} = 25,93$ Дж получено при резке прямоугольного сечения 50x1,83 мм. Это подтверждает, тот факт, что работа резки возрастает по мере увеличения хода ножей через заготовку и зависит от максимальной ординаты контура профиля. Поэтому располагать уголок в положении, соответствующем $\alpha = 0^\circ$ (рис. 3, в), несмотря на минимальную силу резки, не следует. Практическую ценность представляет сравнение работы резки фланцевых профилей, чему соответствуют кривые 1, 2, 4, 5 на рисунке 4. Работа резки швеллера 13,45x25x1,9 мм (кривая 1, рис. 4) составляет $A_1 = 67,13$ Дж; равнобокого уголка 25x25x1,9 мм при $\alpha = 45^\circ$ (кривая 5, рис. 4) – $A_5 = 33,37$ Дж. Работа резки A_5 почти в 2 раза меньше работы резки A_1 , несмотря на равенство площадей поперечного сечения выбранных заготовок.

Выводы и направления дальнейших исследований.

Для выявления влияния формы и расположения разрезаемого сечения на эффективность разделительных операций была создана математическая модель, описывающая процессы резки фланцевых профилей.

Полученные значения максимальной силы и работы резки при различных схемах реализации процесса разделения фланцевых профилей сортовыми ножницами позволяют уточнить и расширить классические представления.

Максимальная сила резки зависит от ширины разрезаемого профиля. Отклонение между максимальным $P_{max} = 24,87$ кН и минимальным $P_{min} = 19,25$ кН значениями составляет 23%.

Максимальная работа резки также зависит от высоты разрезаемого профиля. Отклонение между максимальным $A_{max} = 93,66$ кН и минимальным $A_{min} = 25,93$ кН значениями составляет 72%, а при обработке только фланцевых профилей – 50%, что следует считать значительным.

Анализ результатов вычислений силы резки и работы резки, а также полученные величины отклонений указывают на необходимость рационального подхода при проектировании нового и модернизации действующего технологического оборудования наряду с совершенствованием методик описания процесса резки сложнопрофильного металлопроката сортовыми ножницами.

Библиографический список

1. Трофимчук В.Д. Дефекты прокатной стали и меры борьбы с ними / В.Д. Трофимчук. — М. : Металлургия, 1954. — 632 с.
2. Соловцов С.С. Безотходная разрезка сортового проката в штампах / С.С. Соловцов. — М. : Машиностроение, 1985. — 175 с.
3. Трусковский В.И. Развитие теории и практики производства заготовок обработкой давлением на основе совершенствования методов анализа НДС, создания новых способов и устройств: дис. ... доктора техн. наук: спец. 05.02.09 "Технология и машины обработки давлением" / В.И. Трусковский. — Челябинск, 2014. — 260 с. +прил.
4. Карнаух С.Г. Разработка оборудования для разделения сортового проката (труб) на мерные заготовки с применением нитинола / С.Г. Карнаух, Д.С. Карнаух, Н.В. Чоста // Обработка материалов давлением: сборник научных трудов. — Краматорск : ДГМА, 2015. — № 2 (41). — С. 323–326.
5. Целиков А.И. Прокатные станы : учебник для вузов / А.И. Целиков, В.В. Смирнов. — М. : Металлургиздат, 1958. — 432 с.
6. Боровик П.В. Теоретическое определение силы резки ножницами фасонных профилей / П.В. Боровик, П.А. Петров // Металлургическая и горнорудная промышленность. — Днепропетровск, 2013. — № 5. — С. 41–44.

7. Боровик П.В. Особенности процесса холодной резки квадратной заготовки на сортовых ножницах / П.В. Боровик, П.А. Петров // Сборник научных трудов Донбасского государственного технического университета. — Алчевск : ДонГТУ, 2012. — Вып. 38. — С. 190–196.

8. Цвияк А.П. Краткий справочник машиностроителя-международника /А.П. Цвияк. — СПб .: Питер, 2011. — 384 с.: ил.

*Рекомендована к печати д.т.н., проф. ДонГТУ Харламовым Ю.А.,
д.т.н., проф. ЛГТУ им. Даля Гутько Ю.И.*

Статья поступила в редакцию 23.05.16.

**к.т.н. Ульяницький В.Н., Петров П.О. (ДонДТУ, м. Алчевськ, ЛНР)
ВПЛИВ ФОРМИ І РОЗТАШУВАННЯ ПРОФІЛЮ НА ЕНЕРГОСИЛОВІ ПАРАМЕТРИ
РІЗАННЯ ФАСОННОГО МЕТАЛОПРОКАТУ СОРТОВИМИ НОЖИЦЯМИ**

У статті проведено аналіз впливу форми перетину, що розрізається, і відносного напрямку різа на ефективність розділюальної операції при обробці фасонного металопрокату сортовими ножицями.

Ключові слова: фасонний металопрокат, сортові ножиці, сила різання, робота різання, профіль кутовий, швелер, смуга, штрупс.

**PhD in Engineering Ulianitskii V.N., Petrov P.A. (DonSTU, Alchevsk, LPR)
INFLUENCE OF SHAPE AND POSITION OF A SECTION ON ENERGY-POWER
PARAMETERS WHEN CUTTING A SHAPED STEEL-ROLLED STOCK WITH SHEARS
FOR SECTION IRON**

In the paper there has been given the analysis of influence of cutting profile shape and relative cut direction on efficiency of separation process for shaped steel-rolled stock with section shearing machine.

Key words: shaped steel-rolled stock, section shearing machine, cutting power, cutting work, L-bar, channel bar, bar, candy.